

海浜変形過程における前浜勾配の挙動について

名城大学 正会員 伊藤政博

1. まえがき

これまでに、海浜変形過程における前浜勾配の挙動について、現地海浜資料から Bascom による底質の中央粒径と前浜勾配との実験を行なった。一方、実験的には、若西・野田、土屋・吉岡らは底質物質に砂を使用した場合、また、I. V. Nayak, 田中・新保らは砂より比重の小さいくろみ粉、プラスチック、石炭粉などを使用して、最終前浜勾配が持続性について論じている。その結果、前浜勾配に影響する因子として、底質粒径、津波勾配、砂の安息角などを指摘している。

しかし、波の作用により、海浜がある状態から他の状態に遷移する過程中の前浜勾配の挙動についての研究はない。筆者はこの点を考慮して、底質物質として比重が異なる砂とメサライトを使用し、模型海岸に波が作用した場合、初期海浜形状が逐次定常状態に遷移する過程について、これまでの実験結果を整理した。この実験資料から、前浜勾配を求め、前浜勾配の変動に関する各因子の影響を推測的解析を行ない、解析結果について若干の考察を行なった。

2. 前浜勾配 I_f の次元解析

フラットな初期浜勾配を有する海浜に波が作用し、海浜が逐次変形する過程に次元解析を適用する。図-1 から、 I_f に対する現象に関する物理量との関係は(1)式にまとめられる。

$$I_f = f_1 \left[\frac{x}{L_0}, \frac{t}{T}, \frac{d_{50}}{H_0}, \frac{H_0}{L_0}, \left(\frac{\rho}{\rho} - 1 \right), \frac{\nu}{d_{50} \sqrt{g H_0}}, \frac{T}{T}, S_f, \phi \right] \dots \dots \dots (1)$$

ここで、 x : 汀線から沖方向の距離； t : 静水面から海浜面までの深さ； d_{50} or d_m : 底質物質の中央粒径 or 平均粒径； ρ : 底質物質の密度； ν : 流体の粘度； μ : 流体の粘性係数； H_0 : 津波矢高； L_0 : 沖波矢長； T : 波の周期； τ : 波の作用時間； S_f : 海浜形状(初期浜勾配)； ϕ : 底質物質の水中安息角； ρ : 重力の加速度。

(1)式の右辺の中で、 I_f に対して効果の小さい量を除外すると、

$$I_f = f_2 \left(\frac{x}{L_0}, \frac{d_{50}}{H_0}, S_f, \frac{H_0}{L_0}, \frac{T}{T} \right) \dots \dots \dots (2)$$

さらに、無次元量 x/L_0 は海浜形状と静水面とが交わる点の前浜勾配を考慮する場合、除外することができる。結局、 I_f に影響をおよぼす外的的作用因子は d_{50}/H_0 , S_f , H_0/L_0 , T/T である。なお、これら4個の外的的作用因子は斜正方向の海浜変形過程を議論する場合と同様である。

3. 実験および実験結果

実験は(2)式で得られた4個の因子を直交配列表 $L_0(?)$ に割り付け、この表に従って行なったものである。実験に使用した底質物質は砂 I, メサライト II の2種類である。実験条件の概要是表-1 にまとめて示した。図-2 は一般によく使用される沿岸砂州の発生限界を示す図で、その中に表-1 の実験条件をプロットしたものである。図-3 は、I と II で実験条件が類似している場合の海浜変形状態を示す。この図で、I と II では縮尺が異なりており、II は I の約 1/2 の縮尺である。

図-4は図-3のようすに整理した海浜変形図から読み取った前浜勾配をRun NO. 1~7との関係でプロットしたものである。参考までに、二種の底質荷重の水中安息角を矢印で記入した。

4 解析方法、解析結果

2で述べた4個の外的因子が I_f^I に与えていた影響を推測統計的に解析するため、実験 I と II の解析因子を次のように考える。

i) d_{50}/H_0 : 解析因子 A,

$$A \left\{ \begin{array}{l} (A)_1^I : (d_{50})_1^I / H_0^I = 0.00197 \\ (A)_2^I : (d_{50})_2^I / H_0^I = 0.0983 \\ (A)_1^{II} : (d_{50})_1^{II} / H_0^{II} = 0.003 \\ (A)_2^{II} : (d_{50})_2^{II} / H_0^{II} = 0.24 \end{array} \right.$$

ii) H_0/L_0 : 解析因子 C,

$$C \left\{ \begin{array}{l} (C)_1^I : (H_0/L_0)_1^I = 0.0054 \\ (C)_2^I : (H_0/L_0)_2^I = 0.0314 \\ (C)_1^{II} : (H_0/L_0)_1^{II} = 0.0119 \\ (C)_2^{II} : (H_0/L_0)_2^{II} = 0.0308 \end{array} \right.$$

iii) t/τ : 解析因子 D の値は図-4で示されている Calculation point の値(次元値)である。ただし、波の周期が大きく異なるため、I と II で C.P. が異なった値となる。

$$D \left\{ \begin{array}{l} (D)_1^I, (D)_2^I : (t/\tau)_1^I = (t/\tau)_2^I = 500 \\ (D)_3^I, (D)_4^I : (t/\tau)_3^I = (t/\tau)_4^I = 1000 \\ (D)_5^I, (D)_6^I : (t/\tau)_5^I = (t/\tau)_6^I = 2000 \\ (D)_1^{II}, (D)_2^{II} : (t/\tau)_1^{II} = (t/\tau)_2^{II} = 4000 \\ (D)_3^{II}, (D)_4^{II} : (t/\tau)_3^{II} = (t/\tau)_4^{II} = 6000 \\ (D)_5^{II}, (D)_6^{II} : (t/\tau)_5^{II} = (t/\tau)_6^{II} = 10000 \\ (D)_7^{II} : (t/\tau)_7^{II} = 12521 \end{array} \right.$$

i)~iv)で、 $(A)_1^I, (A)_2^I, \dots, (D)_6^I, (D)_7^I$ の添字 1, 1, 1, 1, 5, 6 は水準値を示す。図-4のRun No. 1~8で I_f^I の挙動の相違は A, B, C, D の各水準値 x_1, x_2, x_3, x_4 の組合せによるものとする。
したがって、 $I_f^I_{x_1 x_2 x_3 x_4}$ は (3)式の構造模型式で表現する。

$$\begin{aligned} I_f^I_{x_1 x_2 x_3 x_4} &= m + a_{x_1} + b_{x_2} + c_{x_3} + d_{x_4} + (ab)_{x_1 x_2} + (ac)_{x_1 x_3} + (ad)_{x_1 x_4} + (bc)_{x_2 x_3} \\ &\quad + (bd)_{x_2 x_4} + (cd)_{x_3 x_4} + (abc)_{x_1 x_2 x_3} + (abd)_{x_1 x_2 x_4} + (acd)_{x_2 x_3 x_4} \\ &\quad + (bcd)_{x_1 x_3 x_4} \end{aligned} \quad (3)$$

(3)式に基づいて、 $I_f^I_{x_1 x_2 x_3 x_4}$ と $I_f^{II}_{x_1 x_2 x_3 x_4}$ の場合について、分散分析を行つて、その結果、 I_f^I に与えた各因子 A, B, C, D, A*B, A*C, A*D, B*C, B*D, C*D, A*B*C, A*B*D, A*C*D, B*C*D, A*B*C*D の寄与率(%) を計算できる。この計算で、 I_f^I に対する影響の大・小判定には下検定を使用する。その結果、小さい場合には誤差正にアーリーする。この計算で求めた各因子の寄与率は

図-5を整理した。なお、参考のために、汀線の前進後退量 X_{se} についても、同様に解析結果を含めてプロットした。

5 考察

実験数があらかじめ限られており、解析結果から指摘できる事項について多少普遍性に欠ける点があれば、次の二点がいえよう。

- 図-4から、前波勾配は波の作用時間の経過とともにともに、底質物質の水中安息角中の約 $1/2$ の値に接近する。この接近速度は、田中・新保らも述べているように、メサウイトの場合に比べて2倍の速さである。
- 図-5から、前波勾配 I_f に対する各因子の寄与率構成は砂とメサウイトとで、 $B \times D$ (初期波勾配 H_0 作用時間) の因子以外全く異なっている。一方、汀線の前進後退量 X_{se} は底質物質により相違が認められず、各因子の寄与率構成がほぼ一致している。現在のところこれらについて、十分な考察はされていないが、 I_f の効果は底質物質の比重による効果がかなり存在するものと推定される。
- 砂の場合、 I_f の効果下として初期海浜移動 S_f の効果が強く影響している。また、荷重比の小さいメサウイトの場合、底質粒径 d_m/H_0 、沖波勾配 H_0/L_0 の効果が強く影響していることがわかる。

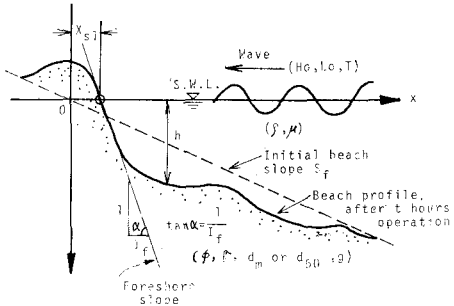


図-1. I_f に関する無次元量。

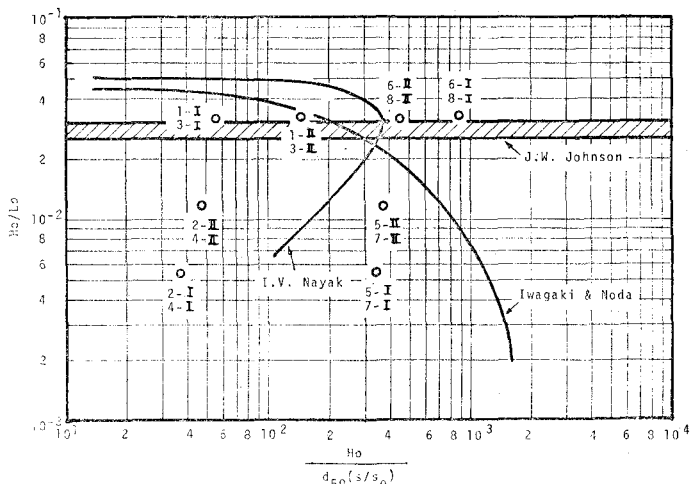


図-2. 沿岸砂州の発生限界と実験条件。

表-1. 実験条件

Material of sediment;	d_m (mm)	d_{50} (mm)	Specific gravity in air s	Angle of repose in water ϕ	Wave period T (sec)	Deep- water wave height H_0 (cm)	Deep- water wave length L_0 (m)	Deep- water wave steepness H_0/L_0	H_0/d_m	Wave duration time t (hour)	Initial beach slope S_f	Water depth (cm)
Sand	0.20	0.20	2.64	31° (1:1.66)	2.84	6.8	12.58	0.0054	340.0 885.0	0.5, 1, 2, 4, 6, 8.	1/10	45
	1.75	1.20	2.64	32.5° (1:1.57)	1.90	17.7	5.63	0.0314	38.9 101.1			
Mesalite	0.30	0.33	2.33	31.4° (1:1.67)	2.3	9.8	8.25	0.119	326.7 403.3	0.25, 0.5, 1, 2, 4, 6, 8.	1/18	-
	2.75	2.60	2.33	40.3° (1:1.8)	1.58	12.1	3.91	0.0308	35.6 44.0			

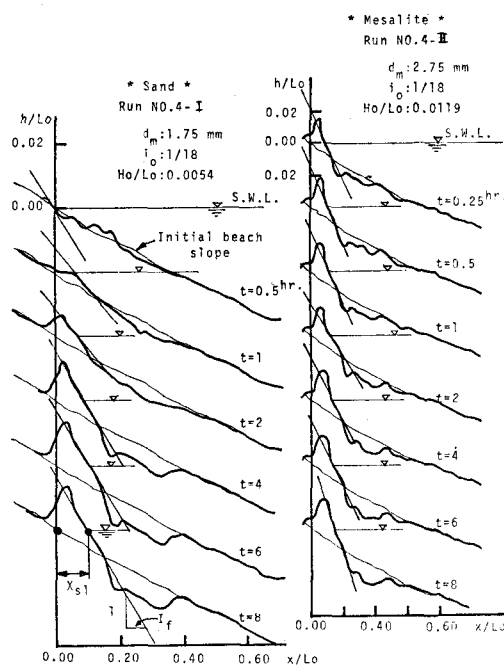


図-3. 波の作用による海浜変形状態

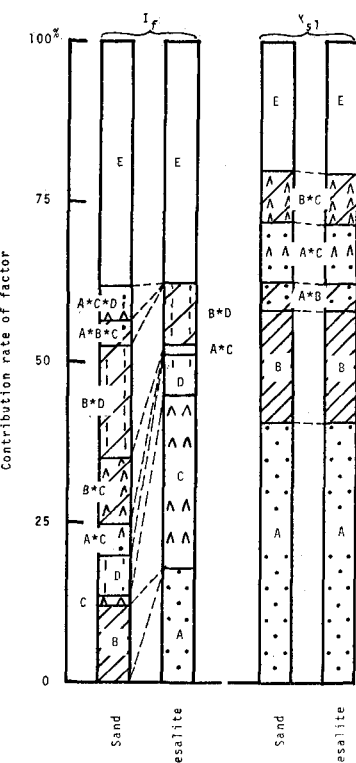


図-5. I_f と X_{s1} に寄与する因子の分解図

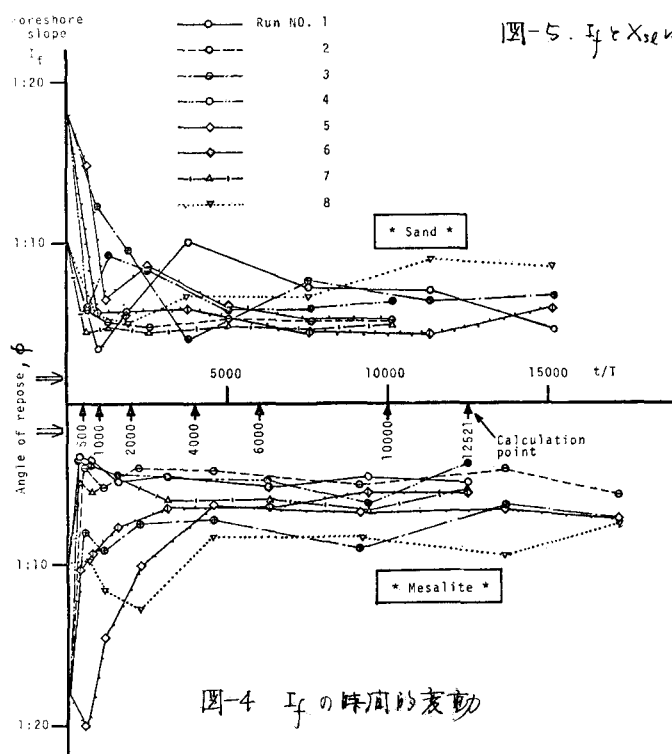


図-4. I_f の時間的変動